

# 高等结构分析算例

(英) J. Walter White 著

丁立祚 刘天骥 吴秉钧 译

中国铁道出版社

# 高 等 结 构 分 析 算 例

〔英〕J·Walter White著

丁立祚 刘天骥 吴秉钧 译

中 国 铁 道 出 版 社

1982年·北京

## 内 容 简 介

本书共分五篇，包括各种算例共58个，主要是以算例形式介绍超静定结构的基本定理和基本分析方法。本书的前面有索引表，表中附有每个算例的结构图示，读者可以查阅。各算例均为无量纲，公制、英制均可应用。

本书可供工程技术人员学习参考，也可以作为高等院校参考教材。

## Advanced Structural Analysis

Worked Examples

J.Walter White

Granada Publishing in 1978

### 高等结构分析算例

〔英〕J.Walter White著

丁立祚 刘天骥 吴秉钧译

中国铁道出版社出版

责任编辑 陈保兴

新华书店北京发行所发行

各地新华书店经售

中国铁道出版社印刷厂印

开本：787×1092印张：16 字数：366千

1982年7月 第1版 1982年7月 第1次印刷

印数：0001—7,500册 定价：2.00元

## 译 者 的 话

本书是由多年在英国哈默斯密斯和伦敦韦斯脱学院 (Hammersmith and West London College) 结构工程系授课的沃尔特·怀特 (J. Walter White) 教授编著的。在英国它通常作为高等院校教材和土建工程师的参考书。作者曾在1972年出版过《结构分析算例》一书，主要讲简支梁及悬臂梁，而《高等结构分析算例》则是前书的续编。通过对这两本书的学习，可对结构理论加深理解和掌握计算方法。

本书是用算例的形式阐明超静定结构分析的各种方法。全书共分连续梁、超静定门式刚架、多层多跨刚架、超静定拱及闭合刚架和薄环等五篇。书中大量应用的是结构力学分析的基本定理和基本方法，例如弯矩分配法、柱比法、影响系数法和弹性中心法等等。

本书有以下的特点：

1. 各算例中有关分析原理已编入附录。
2. 各算例均为无量纲，公制、英制均能适用。
3. 书中列有索引表，使读者在选找算例时一目了然。

在翻译的过程中，译者对原书的错、漏及不妥当之处，根据自己的理解作了改正。

本书可供工程结构设计人员及大专院校师生学习参考。

本书由丁立祚、刘天骥、吴秉钧合译，其中第一篇由吴秉钧译，第三篇及附录由刘天骥译，第二、四、五篇及其他内容由丁立祚译。全书译稿由丁立祚负责整理。

本书译稿承龙驭球、杜文华、袁德熙三位同志对于一些章节给予审阅，并提出宝贵意见，在此表示感谢。

由于时间仓促，译者水平有限，译文中难免有错误缺点，请广大读者批评指正。

译 者

1981年5月

# 目 录

前 言 .....	1	(A) 伯特定理 .....	245
目录索引表 .....	2	(B) 马克斯威尔定理 .....	245
第一篇 连续梁 .....	11	14. 面积和形心 .....	247
第二篇 超静定门式刚架 .....	67	15. 对 $x$ 函数的一些微分和积分公式 .....	248
第三篇 多层多跨刚架 .....	127	16. 三角函数表 .....	249
第四篇 超静定圆弧拱和抛物线拱 .....	179	17. 符号 .....	250
第五篇 闭合刚架和薄环 .....	203	参 考 书 .....	251
附 录			
1. 弯矩分配的哈代-克劳斯 .....	219		
2. 弯矩分配的“固定度”法 .....	222		
3. 柱比法(似柱法) .....	226		
4. 三弯矩方程 .....	228		
5. 有三个以上杆件的刚架的侧移 .....	230		
6. 影响系数法——相容方程式 .....	234		
7. “弹性中心”法 .....	237		
8. 正负号规定 .....	238		
9. 简支梁的弯矩 .....	239		
10. 固端弯矩表 .....	240		
11. $\int M_i M_j$ 表 .....	241		
12. 虚功原理 .....	243		
13. 位移互等定理 .....	245		

## 前　　言

结构分析算例一书发行于1972年秋季，其中包括简支梁、悬臂梁的分析算例。原计划再发行六册，每册讨论结构理论中一章或至多两章的内容。很多教育界的知名人士指出将较多的章节和更多的算例全面的写在一本书中较好。

将结构计算的全部理论和其相应的算例写入一本书中，将使这个册子在使用中显得很笨重，而读者也将付出更多的费用。由于这些理由，这本书的各章只限于超静定结构分析中最常用的方法。

本书五篇阐述了超静定的连续梁等结构的分析。首先是研究连续梁，列出了各种解法，包括弯矩分配的“固定度”法。此法解题简捷准确，应当推广使用。它的原理与哈代-克劳斯（Hardy-Cross）法相同，但它避免了不平衡弯矩反复的分配和传递。

其余几篇是门式刚架、多层多跨刚架、拱和闭合薄环的算例。在算例中有意的避免了结构尺寸的量纲（单位），以使此书适用于各种不同的量纲制度。

希望此书对结构工程师和准备参加高等水平考试的学生们能起有益的作用。设想本书读者已具有结构理论的基础知识，本书在附录中阐明的只是在解题中用到的一些基本方法。前面有一个索引表，使读者很快能找到适当的算例。

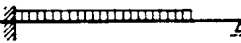
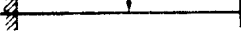
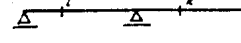
本书对于数学演算的校核极为重视，但仍难说没有任何错误。如果此书能在工程师们和学生们的书房中占有一席地位我将非常高兴，这也是对我的工作的鼓舞。

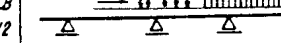
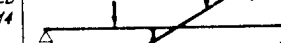
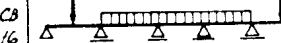
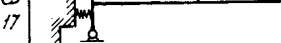
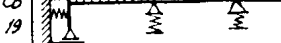
最后我向我的主要助手S.Y.Man先生以及P.Mariathas、A.Campbell、J.philpott 和C.Simpson 先生们致谢，他们在绘制图表上费了不少力气。在一定的时间内编成此书，如果没有他们的帮助是非常困难的。我同时感谢Man夫人，她将此书手稿打印得很好。

J.W.White 怀特。

1977年于伦敦

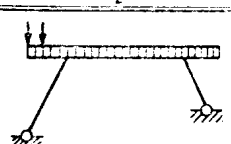
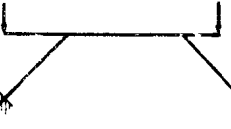
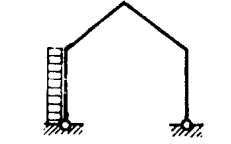
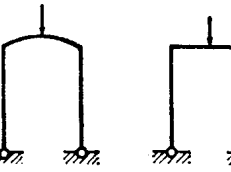
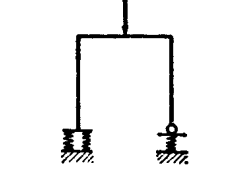
# 目录索引表

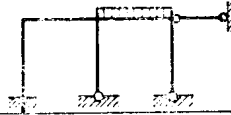
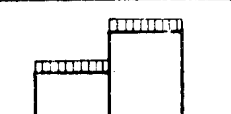
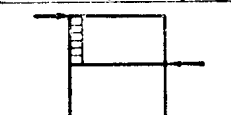
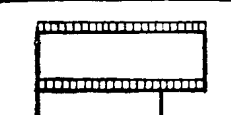
Problem	Structure and Loading	Reactions											Remarks	Page
		Shear Force	Bending Moment	Rotation	Displacement	Direct Force	Influence Lines	by Calculation	Graphically					
1	2	3	4	5	6	7	8	9	10	11	12	13		
CB 1		<input type="radio"/>	Mohr	11										
CB 2		<input type="radio"/>	Clopeyron	13										
CB 3		<input type="radio"/>	Carry-over factor Mohr	15										
CB 4		<input type="radio"/>	Clopeyron	15										
CB 5		<input type="radio"/>				<input type="radio"/>	Variable I Approx method and analytically	18						
CB 6		<input type="radio"/>	Influence Coefficients Column Analogy	22										
CB 7		<input type="radio"/>	Temporary support Hardy Cross	24										
CB 8		<input type="radio"/>	Stiffness Carry-over factor	28										
CB 9		<input type="radio"/>	Maxwell	29										
CB 10		<input type="radio"/>	Clopeyron Hardy Cross Influence Coefficients	30										

Problem	Structure and loading	Reactions											Remarks	Page
		Shear Force	Bending Moment	Rotation	Displacement	Direct Force	Influence Lines	by Calculation	Graphically					
1	2	3	4	5	6	7	8	9	10	11	12	13		
CB 11		<input type="radio"/>	Müller-Breslau	33										
CB 12		<input type="radio"/>	Müller-Breslau Reversible load train	41										
CB 13		<input type="radio"/>	Degree of Fixity Hardy Cross Settlement of supports	50										
CB 14		<input type="radio"/>	Crossed beams Influence Coefficients Virtual Work	53										
CB 15		<input type="radio"/>	Crossed beams Influence Coefficients Virtual Work Variable I	56										
CB 16		<input type="radio"/>	Short-cut method Hardy Cross Degree of Fixity	66										
CB 17		<input type="radio"/>	Elastic foundations Mohr	60										
CB 18		<input type="radio"/>	Elastic foundations Influence Coefficients Virtual Work	62										
CB 19		<input type="radio"/>	Elastic foundations Influence Coefficients Virtual Work	64										

Problem	Structure and Loading	Reactions											Remarks	Page
		3	4	Shear force	Bending Moment	Rotation	Displacement	Direct force	Influence lines	By Calculation	Graphically	12		
1	2													
IP 10		<input type="radio"/>	Non-sway Degree of Fixity Hardy Cross Mohr	96										
IP 11		<input type="radio"/>	Degree of Fixity Prop-force Arbitrary Sway	99										
IP 1		<input type="radio"/>	Symmetrical frame Hardy Cross Superposition	67										
IP 2		<input type="radio"/>	Column Analogy Superposition Degree of Fixity 'Elastic Centre'	69										
IP 3		<input type="radio"/>	Degree of Fixity Virtual Work	74										
IP 4		<input type="radio"/>	Fixed-end Moments Mohr & Hardy Cross 'Short-cut' method Relative displacement	76										
IP 5		<input type="radio"/>	Non-symmetrical frame Virtual Work Degree of fixity Mohr	78										

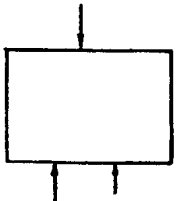
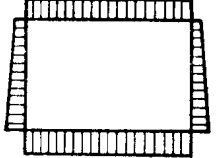
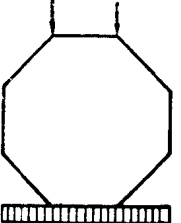
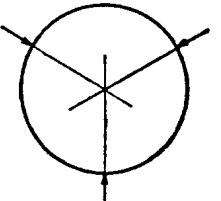
Problem	Structure and loading	Reactions											Remarks	Page
		3	4	5	6	Bending Moment	Rotation	Displacement	Direct force	Influence lines	By Calculation	Graphically		
IP 14		<input type="radio"/>	Degree of Fixity Influence Coefficients Mohr Sway calculations	106										
IP 12		<input type="radio"/>	Mohr Degree of Fixity Influence Coefficients	101										
IP 13		<input type="radio"/>	Virtual Work Mohr	104										
IP 15		<input type="radio"/>	Temporary Support Degree of Fixity Hardy Cross Fixed-end moment Carry-over factor $I = \text{const}$ (stiffness)	110										
IP 6		<input type="radio"/>	Maxwell Virtual Work Degree of fixity	80										
IP 7		<input type="radio"/>	Relative displacement-area moment Hardy Cross	84										

Problem	Structure and Loading	Procedures												Remarks	Page
		Shear Force	Bending Moment	Rotation	Displacement	Direct Force	Influence Lines	By Calculation	Graphically	12	13				
IP 8		<input type="radio"/>	Relative displacement Degree of Fixity	186											
IP 16		<input type="radio"/>	'Elastic Centre' Degree of Fixity Mohr Virtual Work	114											
IP 9		<input type="radio"/>	Symmetrical frame Degree of Fixity Moment-Area	91											
IP 17		<input type="radio"/>	Column Analogy Influence Coefficients Hardy-Cross-Short cut method	120											
IP 18		<input type="radio"/>	Influence Coefficients Virtual Work	125											

Problem	Structure and Loading	Procedures												Remarks	Page
		Shear Force	Bending Moment	Rotation	Displacement	Direct Force	Influence Lines	By Calculation	Graphically	12	13				
M.F. 1		<input type="radio"/>					Non-sway Hardy Cross	127							
M.F. 2		<input type="radio"/>					One sway Hardy Cross	129							
M.F. 3		<input type="radio"/>					Two sways Hardy Cross	132							
M.F. 4		<input type="radio"/>					Two sways Hardy Cross	136							
M.F. 5		<input type="radio"/>					Three sways Hardy Cross	141							
M.F. 6		<input type="radio"/>					Non-sway Hardy Cross	147							

Problem	Structure and Loading		Reactions											Remarks	Page
	1	2	3	4	5	6	7	8	9	10	11	12	13		
M.F. 7			<input type="radio"/>	Non-sway Hardy Cross Mohr	150										
M.F. 8			<input type="radio"/>	Symmetrical arrgt, 2 sways Hardy Cross Mohr	154										
M.F. 9			<input type="radio"/>	Non-symmetrical load 2 sways Hardy Cross Virtual Work	161										
M.F. 10			<input type="radio"/>	<input type="radio"/>			<input type="radio"/>	Degree of Fixity Support moments at Joint A and B	171						
M.F. 11			<input type="radio"/>	Partly fixed supports A, B, C, D and E Degree of Fixity	172										

Problem	Structure and Loading		Reactions											Remarks	Page
	1	2	3	4	5	6	7	8	9	10	11	12	13		
A1			<input type="radio"/>	Virtual Work Moment Area	179										
A2				<input type="radio"/>	Virtual Work Moment Area	184									
A3				<input type="radio"/>	Superposition	188									
A4				<input type="radio"/>	$I = I_0 \sec \theta$ Influence Coefficients Compatibility Equations Virtual Work	189									
A5				<input type="radio"/>	'Elastic Centre' method	195									
A6				<input type="radio"/>	$I = \frac{I_0}{4} \sec \theta$ 'Elastic Centre' method	198									

Problem	Structure and Loading	Reactions											Remarks	Page
		3	4	5	6	7	8	9	10	11	12	13		
CR 1		<input type="radio"/>	<input checked="" type="radio"/>	<input type="radio"/>	Column Analogy 'Elastic Centre'	203								
CR 2		<input type="radio"/>	<input checked="" type="radio"/>	<input type="radio"/>	'Elastic Centre'	207								
CR 3		<input type="radio"/>	<input checked="" type="radio"/>	<input type="radio"/>	'Elastic Centre'	210								
CR 4		<input type="radio"/>	<input checked="" type="radio"/>	<input type="radio"/>	'Elastic Centre'	214								

### 以上各表表头的译文:

- |                           |         |
|---------------------------|---------|
| (1) Problem               | 习题      |
| (2) Structure and loading | 结构型式和荷载 |
| (3) Reactions             | 反力      |
| (4) Shear force           | 剪力      |
| (5) Bending Moment        | 弯矩      |
| (6) Rotation              | 转角      |
| (7) Displacement          | 变位      |
| (8) Direct Force          | 轴向力     |
| (9) Influence lines       | 影响线     |
| (10) By Calculation       | 计算法     |
| (11) Graphically          | 图解法     |
| (12) Remarks              | 备注      |
| (13) Page                 | 页次      |

### 以上各表中备注的译文

- |      |                                |         |
|------|--------------------------------|---------|
| CB1* | Mohr                           | 莫尔      |
|      | Max deflection                 | 最大挠度    |
| CB2  | Clapeyron                      | 克来扑让    |
| CB3  | Carry-over Factor              | 传递系数    |
|      | Mohr                           | 莫尔      |
| CB4  | Clapeyron                      | 克来扑让    |
| CB5  | Variable I                     | 变惯性矩 I  |
|      | Approx.method and analytically | 渐近法及解析法 |

<i>CB6</i>	<i>Influence Coefficients</i>	影响系数	<i>Hardy Cross</i>	哈代-克劳斯
	<i>Column Analogy</i>	柱比法	<i>Degree of Fixity</i>	固定度
<i>CB7</i>	<i>Temporary Support</i>	临时支撑	<i>Elastic foundations</i>	弹性基础
	<i>Hardy-Cross</i>	哈代-克劳斯法	<i>Mohr</i>	莫尔
<i>CB8</i>	<i>stiffness</i>	刚度	<i>Elastic foundations</i>	弹性基础
	<i>Carry-over Factor</i>	传递系数	<i>Influence Coefficients</i>	影响系数
<i>CB9</i>	<i>Max well</i>	马克斯威尔法	<i>Virtual Work</i>	虚功
<i>CB10</i>	<i>Clapeyron</i>	克来扑让	<i>Elastic foundations</i>	弹性基础
	<i>Hardy-Cross</i>	哈代-克劳斯	<i>Influence Coefficients</i>	影响系数
	<i>Influence Coefficients</i>	影响系数	<i>Virtual Work</i>	虚功
<i>CB11</i>	<i>Müller-Breslau</i>	米乐-伯斯劳	<i>IP*10</i>	无侧移
<i>CB12</i>	<i>Müller-Breslau</i>	米乐-伯斯劳		固定度
	<i>Reversible Load Train</i>	往复列车荷载		哈代-克劳斯
<i>CB13</i>	<i>Degree of Fixity</i>	固定度		莫尔
	<i>Hardy Cross</i>	哈代-克劳斯		固定度
	<i>Settlement of supports</i>	支座沉陷		约束力
<i>CB14</i>	<i>Crossed Beams</i>	十字梁		任意侧移
	<i>Influence Coefficients</i>	影响系数		对称刚架
	<i>Virtual Work</i>	虚功		哈代-克劳斯
<i>CB15</i>	<i>Crossed beams</i>	十字梁		叠加
	<i>Influence coefficients</i>	影响系数		柱比 (似柱)
	<i>Virtual Work</i>	虚功		叠加
	<i>Variable I</i>	变惯性矩 <i>I</i>		固定度
<i>CB16</i>	<i>Short cut method</i>	简捷法		弹性中心

\*CB代表连续梁，为英语Continuous beams的缩写。——译注

<i>IP3</i>	<i>Degree of Fixity</i>	固定度	<i>IP6</i>	<i>Maxwell</i>	马克斯威尔
	<i>Virtual Work</i>	虚功		<i>Virtual Work</i>	虚功
<i>IP4</i>	<i>Fixed end moment</i>	固端弯矩		<i>Degree of Fixity</i>	固定度
	<i>Mohr &amp; Hardy cross</i>	莫尔和哈代-克劳斯	<i>IP7</i>	<i>Relative displacement</i>	相对位移
	<i>'Short cut' method</i>	简捷法		<i>Area moment</i>	弯矩面积
	<i>Relative displacement</i>	相对位移		<i>Hardy Cross</i>	哈代-克劳斯
<i>IP5</i>	<i>Non-symmetrical frame</i>	不对称刚架	<i>IP8</i>	<i>Relative displacement</i>	相对位移
	<i>Virtual Work</i>	虚功		<i>Degree of Fixity</i>	固定度
	<i>Degree of Fixity</i>	固定度	<i>IP16</i>	<i>Elastic centre</i>	弹性中心
	<i>Mohr</i>	莫尔		<i>Degree of Fixity</i>	固定度
<i>IP14</i>	<i>Degree of Fixity</i>	固定度		<i>Mohr</i>	莫尔
	<i>Influence Coeffi-</i>			<i>Virtual Work</i>	虚功
	<i>cients</i>	影响系数	<i>IP9</i>	<i>Symmetrical frame</i>	对称刚架
	<i>Mohr</i>	莫尔		<i>Degree of Fixity</i>	固定度
	<i>Sway calculations</i>	侧移计算		<i>Moment-Area</i>	弯矩面积
<i>IP12</i>	<i>Mohr</i>	莫尔	<i>IP17</i>	<i>Column Analogy</i>	柱比（似柱）
	<i>Degree of Fixity</i>	固定度		<i>Influence coeffi-</i>	
	<i>Influence coeffi-</i>			<i>cients</i>	影响系数
	<i>cients</i>	影响系数		<i>Hardy Cross-Short cut</i>	
<i>IP13</i>	<i>Virtual Work</i>	虚功		<i>method</i>	哈代-克劳斯简捷法
	<i>Mohr</i>	莫尔	<i>IP18</i>	<i>Influence Coeffi-</i>	
<i>IP15</i>	<i>Temporary Support</i>	临时支撑		<i>cients</i>	影响系数
	<i>Degree of Fixity</i>	固定度		<i>Virtual Work</i>	虚功
	<i>Hardy Cross</i>	哈代-克劳斯	<i>MF*1</i>	<i>Non-sway</i>	无侧移
	<i>Fixed-end moment</i>	固端弯矩		<i>Hardy-Cross</i>	哈代-克劳斯
	<i>Carry-over Factor</i>	传递系数			
	<i>I=Const. (stiffness)</i>	<i>I=常数 (刚度)</i>			

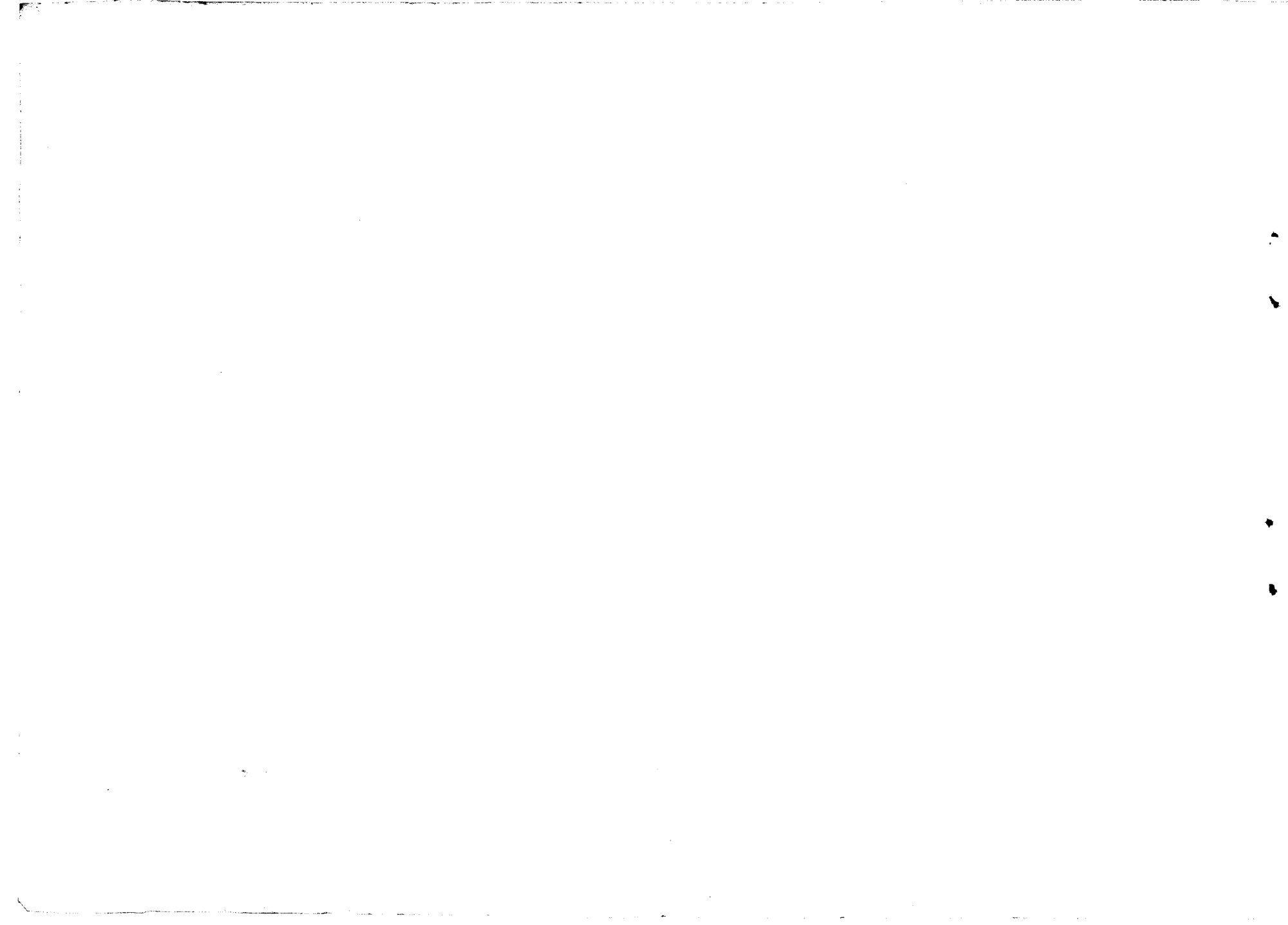
\* IP代表超静定门式刚架，为英语 *Indeterminate portal frames* 的缩写。  
——译注

	<i>Prop-Force</i>	约束力			
<i>MF2</i>	<i>One Sway</i>	一个侧移		<i>A, B, C, D and E</i>	弹性固定支撑 (支座)
	<i>Hardy Cross</i>	哈代-克劳斯			<i>A, B, C, D and E</i>
	<i>Mohr</i>	莫尔	<i>A1*</i>	<i>Degree of Fixity</i>	固定度
<i>MF3</i>	<i>Two Sways</i>	二个侧移		<i>Virtual Work</i>	虚功
	<i>Hardy Cross</i>	哈代-克劳斯	<i>A2</i>	<i>Moment Area</i>	弯矩面积
<i>MF4</i>	<i>Two Sways</i>	二个侧移		<i>Virtual Work</i>	虚功
	<i>Hardy Cross</i>	哈代-克劳斯	<i>A3</i>	<i>Moment Area</i>	弯矩面积
<i>MF5</i>	<i>Three Sways</i>	三个侧移	<i>A4</i>	<i>Superposition</i>	叠加
	<i>Hardy Cross</i>	哈代-克劳斯			
<i>MF6</i>	<i>Non-Sway</i>	无侧移		<i>Influence Coefficients</i>	影响系数
	<i>Hardy Cross</i>	哈代-克劳斯		<i>Compatibility Equations</i>	相容方程
<i>MF7</i>	<i>Non-Sway</i>	无侧移		<i>Virtual Work</i>	虚功
	<i>Hardy Cross</i>	哈代-克劳斯	<i>A5</i>	<i>Elastic Centre method</i>	弹性中心法
	<i>Mohr</i>	莫尔	<i>A6</i>		
<i>MF8</i>	<i>Symmetrical arrgt.</i>	对称		<i>Elastic Centre method</i>	弹性中心法
	<i>2 Sways</i>	二个侧移		<i>Column Analogy</i>	柱比
	<i>Hardy Cross</i>	哈代-克劳斯	<i>CR*1</i>	<i>Elastic Centre</i>	弹性中心
	<i>Mohr</i>	莫尔		<i>CR2</i>	弹性中心
<i>MF9</i>	<i>Non symmetrical load</i>	荷载不对称		<i>CR3</i>	弹性中心
	<i>2 Sways</i>	二个侧移		<i>CR4</i>	弹性中心
	<i>Hardy Cross</i>	哈代-克劳斯			
	<i>Virtual Work</i>	虚功			
<i>MF10</i>	<i>Degree of Fixity</i>	固定度			
	<i>Support moments at A and B</i>	在A及B处的支撑弯矩			
<i>MF11</i>	<i>Partly fixed Supports</i>				

\* MF代表多层多跨刚架,为英语*Multibay and multistorey continuous frames*的缩写。——译注

\* A代表超静定圆弧及抛物线拱,为英语*Indeterminate circular and parabolic arches*的缩写。——译注

CR\* 代表闭合刚架和薄环,为英语*Closed frames and annular thin rings*的缩写。——译注



# 第一篇 连续梁

## *Continuous Beams(CB)*

### 习题CB1 见图CB1

用莫尔定理 (Mohr's theorems, 即弯矩面积法定理) 求图CB1.1 (a) 所示的一端固定一端简支的梁的固端弯矩。然后作剪力图及弯矩图。最后求出该梁以  $EI$  表示的最大挠度的数值及其位置。

#### 解

一端固定一端简支的梁是超静定的，因为它的反力不能用静力平衡方程式全部解出。可以用两种方法将它变为静定形式：一种方法是撤去固端弯矩使其成为简支梁；另一种方法是撤去简支端的支撑使其变为悬臂梁。在以上两种方法中都应将撤去的约束力所产生的影响，叠加于梁上，以使其最后的效应与原一端固定一端简支梁相同。见图CB1.1 (b) 和 2 (c)。

#### 情况一

简支梁在  $A$  端作用一个弯矩  $M_A$ ,  $M_A$  如为原固端弯矩，其大小应使简支梁在  $A$  端所产生的转角必与简支梁因荷载所产生的转角在数值上相等。见图CB1.1 (c) 及 (d)。

在图CB1.1 (c) 中，应用莫尔第一定理，对  $B$  取矩。

$$10EI\varphi_A = F \times \bar{x_B} = \frac{24 \times 10}{2} \times \frac{0 + 4 + 10}{3}$$

得

$$EI\varphi_A = 56$$

自图CB1.1 (d)

$$10EI\varphi_A = \frac{10M_A}{2} \times \frac{2 \times 10}{3}$$

得

$$EI\varphi_A = 3.3M_A$$

二者相等

$$56 = 3.3M_A$$

$$M_A = \frac{56}{3.3} = 16.8$$

反力可从支座  $A$  和  $B$  处的静力剪力和弹性剪力叠加而得。

$$V_A = \frac{Pb}{a+b} + \frac{M_A}{a+b} = 4 + 1.68 = 5.68$$

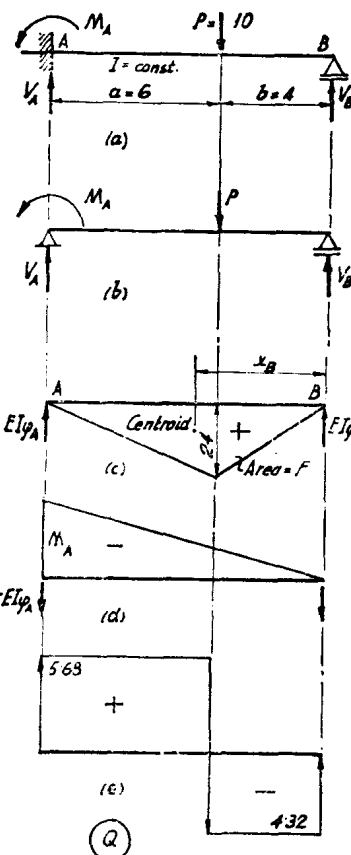


图 CB1.1.

图中: Const 常数; Centroid 形心; Area 面积。

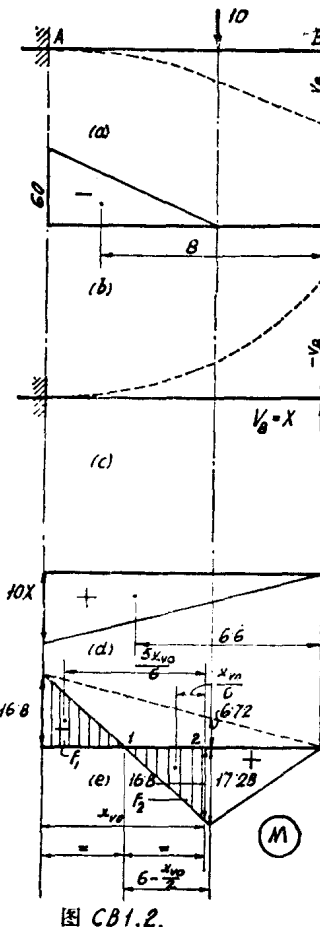


图 CB1.2.

$$V_B = \frac{Pa}{\underbrace{a+b}} - \frac{M_A}{\underbrace{a+b}} \frac{\Sigma V = 10 = P}{= 6 - 1.68 = 4.32}$$

静力 弹性  
剪力 剪力

将图 CB1.1 (c) 和 (d) 叠加即得到最后弯矩。

情况二

悬臂梁在 B 端作用一个向上集中荷载 X。因为原梁在 B 端不能沿垂直方向发生位移，故 X 使悬臂梁向上发生的位移的数值，必等于悬臂梁因荷载向下发生的位移。见图 CB1.2 (a) 及 (c)。

自图 CB1.2 (a) 及 (b) 应用莫尔第二定理

$$EIv_B = \frac{60 \times 6}{2} \times 8 = 1440$$

自图 CB1.2 (d)

$$EIv_B = -\frac{10X \times 10}{2} \times 6.6 = -333.3X$$

令以上二式相等，得

$$X = -\frac{1440}{333.3} = -4.32$$

负号表示 X 方向向上。将 A 处由于 X 以及荷载所产生的弯矩相加，得

$$M_A = -60 + 10 \times 4.32 = -16.8$$

与前同。

剪力图示于 CB1.1 (e)，弯矩图示于 CB1.2 (e)。

最大挠度值及其位置，见图 CB1.2 (e)

最大挠度发生于斜率为零处。根据莫尔第一定理，从 A 点起阴影部分的正负弯矩面积图必须相等

从相似三角形